



Reporte Semanal de Clima Espacial

<https://www.sciesmex.unam.mx/blog/category/reporte-semanal-de-clima-espacial/>



Reporte semanal: del 07 al 13 de julio de 2023

CONDICIONES DEL SOL

Regiones activas: 13.

Fulguraciones solares de clase X: 0.

Eyecciones de masa coronal tipo halo: 8.

Estallidos de radio: 33 de Tipo III, 11 de Tipo V y uno de Tipo II.

CONDICIONES DEL MEDIO INTERPLANETARIO

No se registraron regiones de interacción.

CONDICIONES DE MAGNETÓSFERA

Se registró actividad geomagnética débil y moderada.

CONDICIONES DE LA IONOSFERA

No se registraron variaciones significativas.

CONDICIONES DE RAYOS CÓSMICOS

Se continuó con el registró del decrecimiento Forbush que inició el 25 de junio.

Reporte semanal: del 07 al 13 de julio de 2023

PRONÓSTICOS*

Viento solar:

El modelo pronostica el arribo del choque producido por una EMC para el día 15 de julio.

Fulguraciones solares:

Probabilidad moderada de fulguraciones intensas (clase X).

Tormentas geomagnéticas:

Baja probabilidad de perturbaciones geomagnéticas severas.

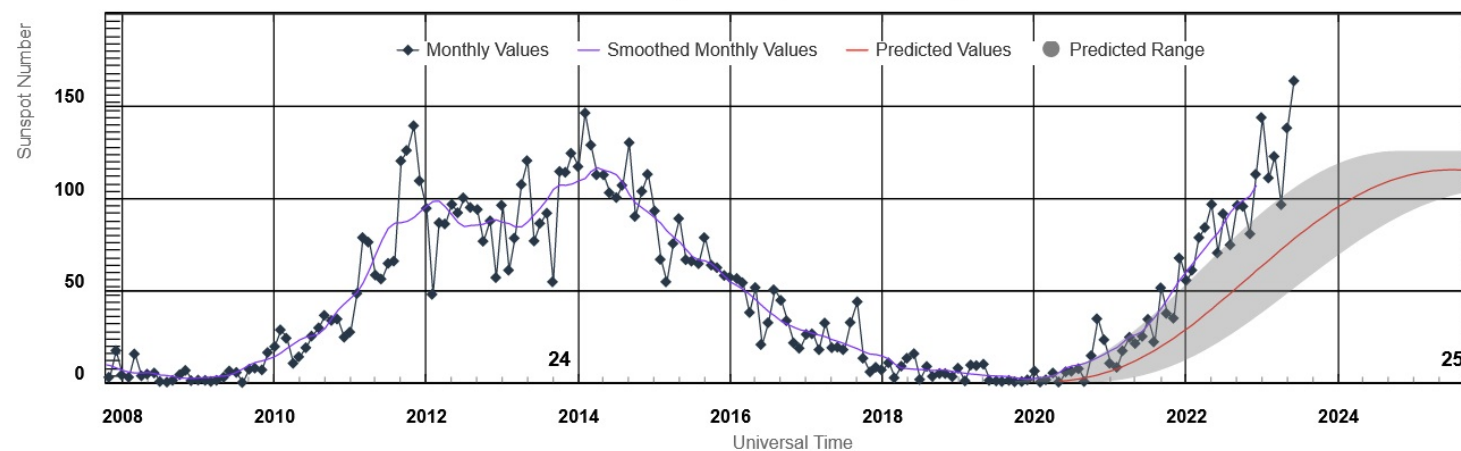
Tormentas ionosféricas:

Probabilidad moderada de perturbaciones ionosféricas severas.

*NOTA: Perturbaciones de Clima Espacial pueden ser provocadas por eventos solares rápidos los cuales no se pueden pronosticar definitivamente con una anticipación de varios días.

Ciclo de manchas solares y la actividad solar

ISES Solar Cycle Sunspot Number Progression



La figura muestra el conteo del número de manchas solares desde enero del 2008.

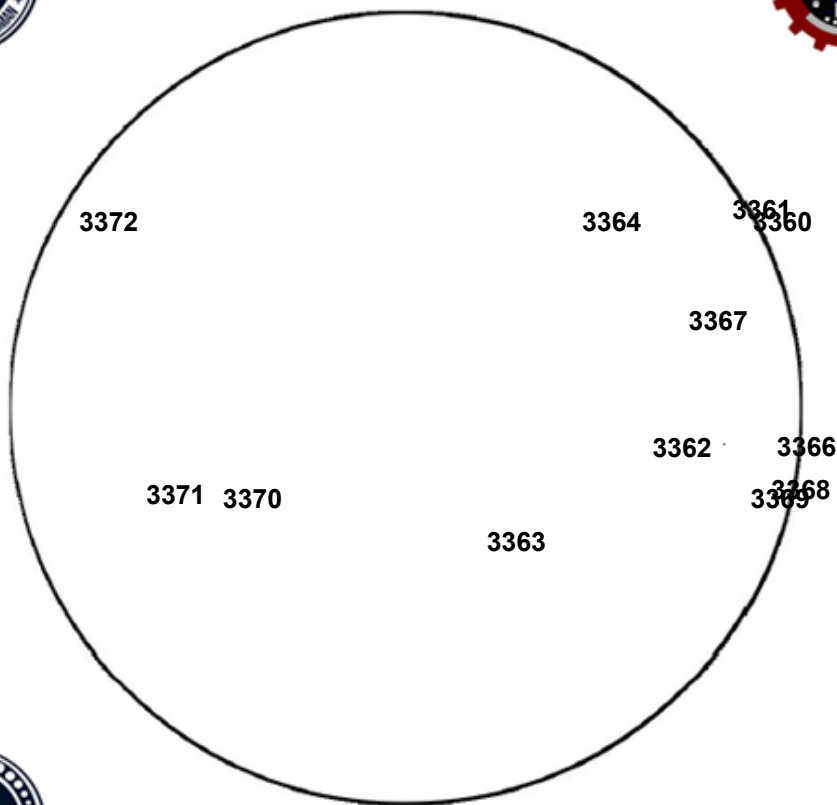
Entre más manchas solares presente el Sol, es mayor la posibilidad de que ocurra una tormenta solar.

Imagen: www.swpc.noaa.gov/products/solar-cycle-progression

Estamos en el ciclo solar 25. Es una época de actividad solar creciente.



Centro de Pronóstico del
Clima Espacial
ESIA Ticomán



El número de Wolf es un valor que permite evaluar numéricamente la actividad solar mediante el conteo de manchas solares ubicadas sobre la superficie del Sol. Este se calcula a partir de la fórmula desarrollada por Rudolf Wolf en 1849:

$$W=k(10+G+F)$$

Donde:

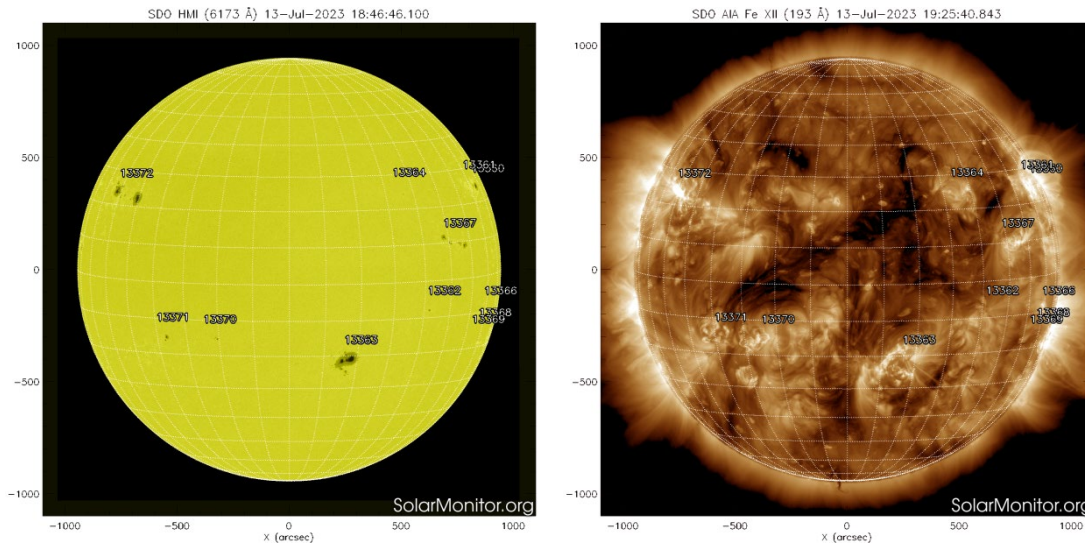
K= Es un factor de corrección que depende de cada observatorio.

F= Cantidad total de manchas solares visibles sobre el disco solar.

G= Cantidad de grupos manchas solares visibles sobre el disco solar.

Número de Wolf máximo esta semana: **271**

Durante esta semana se pudieron observar doce regiones activas en la superficie del Sol. Estas fueron la 3360, 3361, 3362, 3363, 3364, 3366, 3367, 3368, 3369, 3370, 3371 y 3372 con coordenadas N23W91, N25W74, S08W43, S21W18, N25W35, S11W91, N10W50, S17W87, S18W74, S15E24, S15E39 y N24E56 respectivamente.



Imágenes: <https://solarmonitor.org>

Las imágenes más recientes (el 13 de julio) del satélite artificial SDO muestran 13 regiones activas y dos hoyos coronales dispersos en el hemisferio norte.

El Sol, visto en distintas longitudes de onda que muestran las diferentes capas solares.

A la izquierda: La fotosfera es la zona “superficial” del Sol, donde aparecen las manchas solares. Regiones oscuras formadas por material más frío que sus alrededores y que contienen intensos campos magnéticos. Las manchas solares están relacionadas con la actividad solar.

A la derecha: El Sol en rayos X (193 Å). Los hoyos coronales (regiones oscuras) son regiones de campo magnético solar localmente abierto. Son fuente de las corrientes de viento solar rápido.

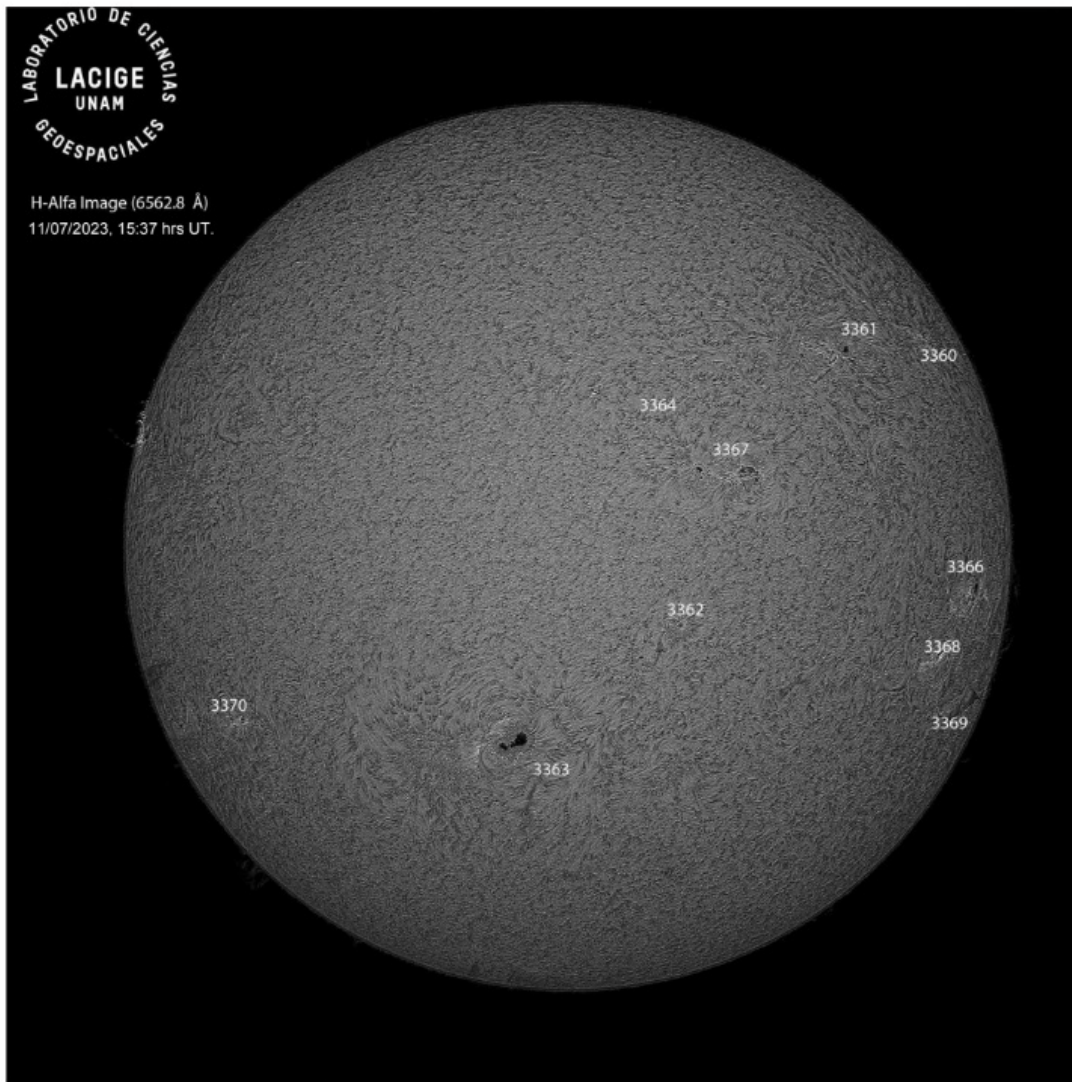


Imagen de la cromosfera solar en H-Alpha (6562.8 Å) para el día 11/07/2023, 15:37 hrs UT.

La imagen muestra un acercamiento a las regiones activas 3360, 3361, 3362, 3363, 3364, 3366, 3367, 3368, 3369 y 3370 observadas para esta fecha en el disco solar.

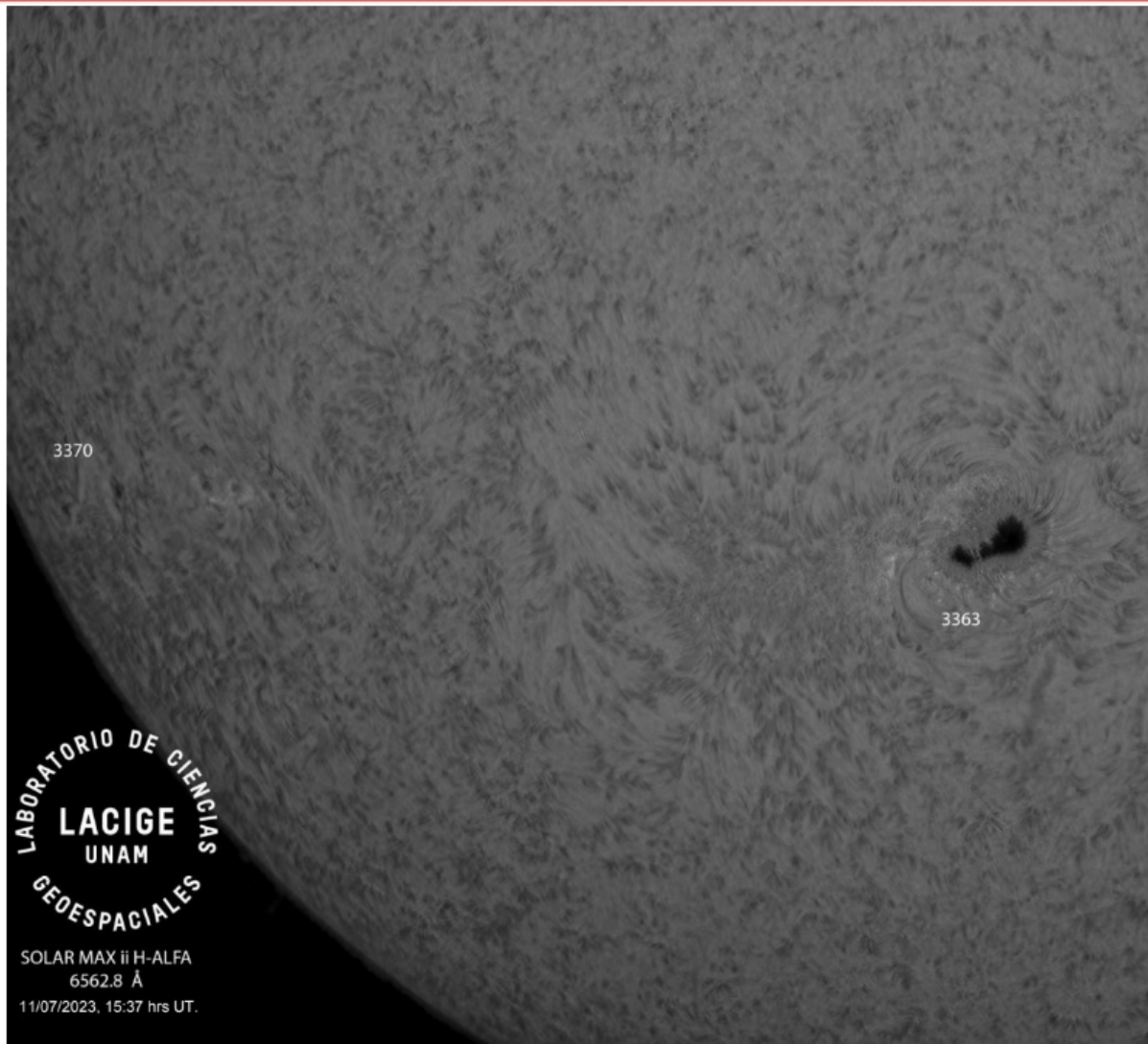


Imagen de la cromosfera solar en H-Alpha (6562.8 \AA) para el día 11/07/2023, 15:45 hrs UT.

La imagen muestra un acercamiento a las regiones activas 3363 y y 3370 observadas para esta fecha en el disco solar.

Actividad solar: Fulguraciones solares

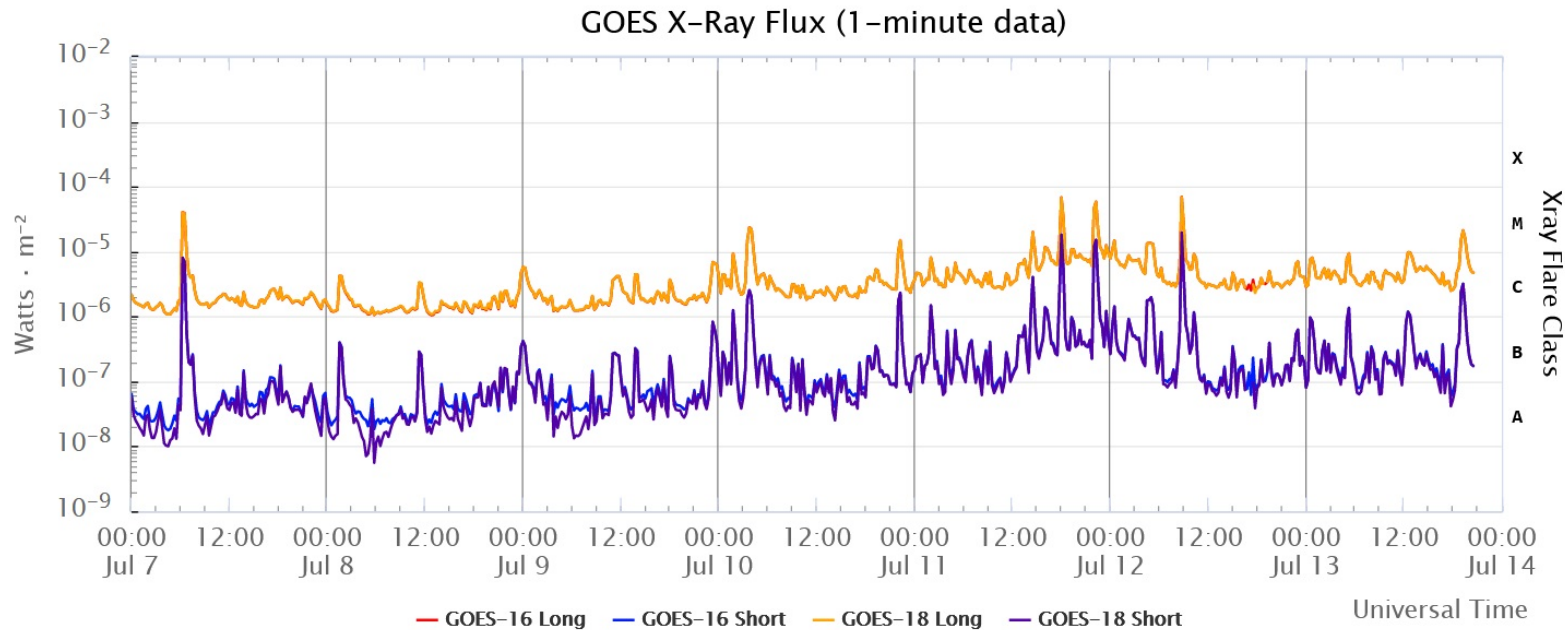


Imagen: www.swpc.noaa.gov/products/goes-x-ray-flux

Flujo de rayos X solares detectado por los satélites GOES. La imagen muestra los datos tomados durante los últimos días.

La semana pasada (del 06 al 13 de julio) se observaron múltiples fulguraciones de clase M. No se observaron fulguraciones clase X.

Medio interplanetario: El viento solar cercano a la Tierra

Modelo numérico WSA-ENLIL.

Al día de hoy 13 de julio de 2023, el modelo pronostica el arribo de corrientes de viento solar lento con que velocidades de aproximadamente 400 km/s. Pronostica el arribo del choque producido por una EMC para el día 15 de julio a las 09:00 hora local del centro de México.

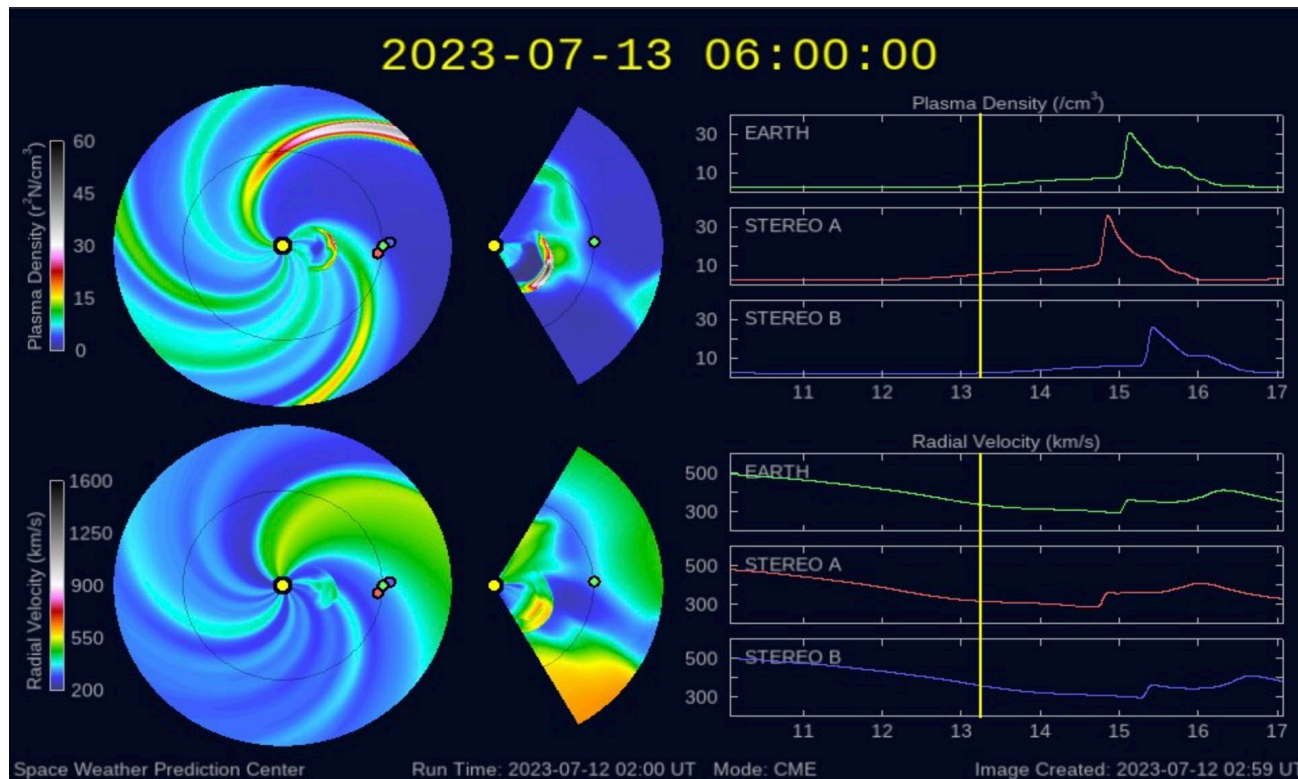


Imagen: <http://www.swpc.noaa.gov/products/wsa-enlil-solar-wind-prediction>

Actividad solar: Eyecciones de Masa Coronal

Se registraron 52 EMCs.
8 tipo halo (ancho > 90°).

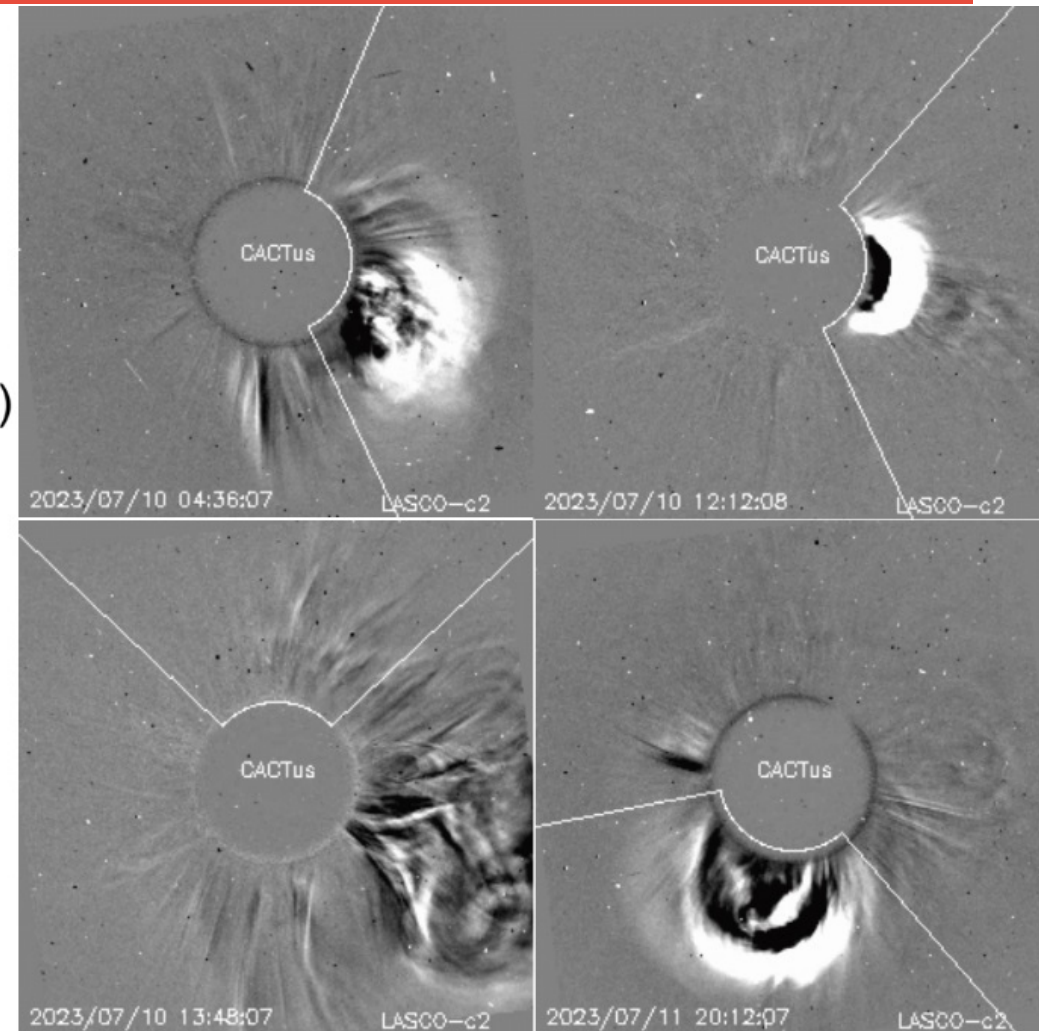
Mediciones de salida de EMC de mayor
dimensión o velocidad de esta semana:

Fecha, tiempo inicial, velocidad promedio (km/s)

2023/07/10	04:00	772
2023/07/10	12:00	619
2023/07/10	13:26	1041
2023/07/11	19:36	694

-Eyecciones observadas por SOHO/LASCO con
cálculos del sitio CACTUS.

Crédito de imágenes y valores estimados:
SOHO, the SOLAR & Heliospheric Observatory
<https://wwwbis.sidc.be/cactus/>



Medio interplanetario: Región de interacción de viento solar

Esta semana no se registró región de interacción alguna (ver imagen 2). Sin embargo, hay probabilidad de que en los siguientes días pueda registrarse el flanco de una eyección de masa coronal (EMC) generada después del rompimiento de un filamento en las regiones activas AR13358 y AR13363 (ver AR 3358 y AR 3363 en el hemisferio sur en imagen 1).

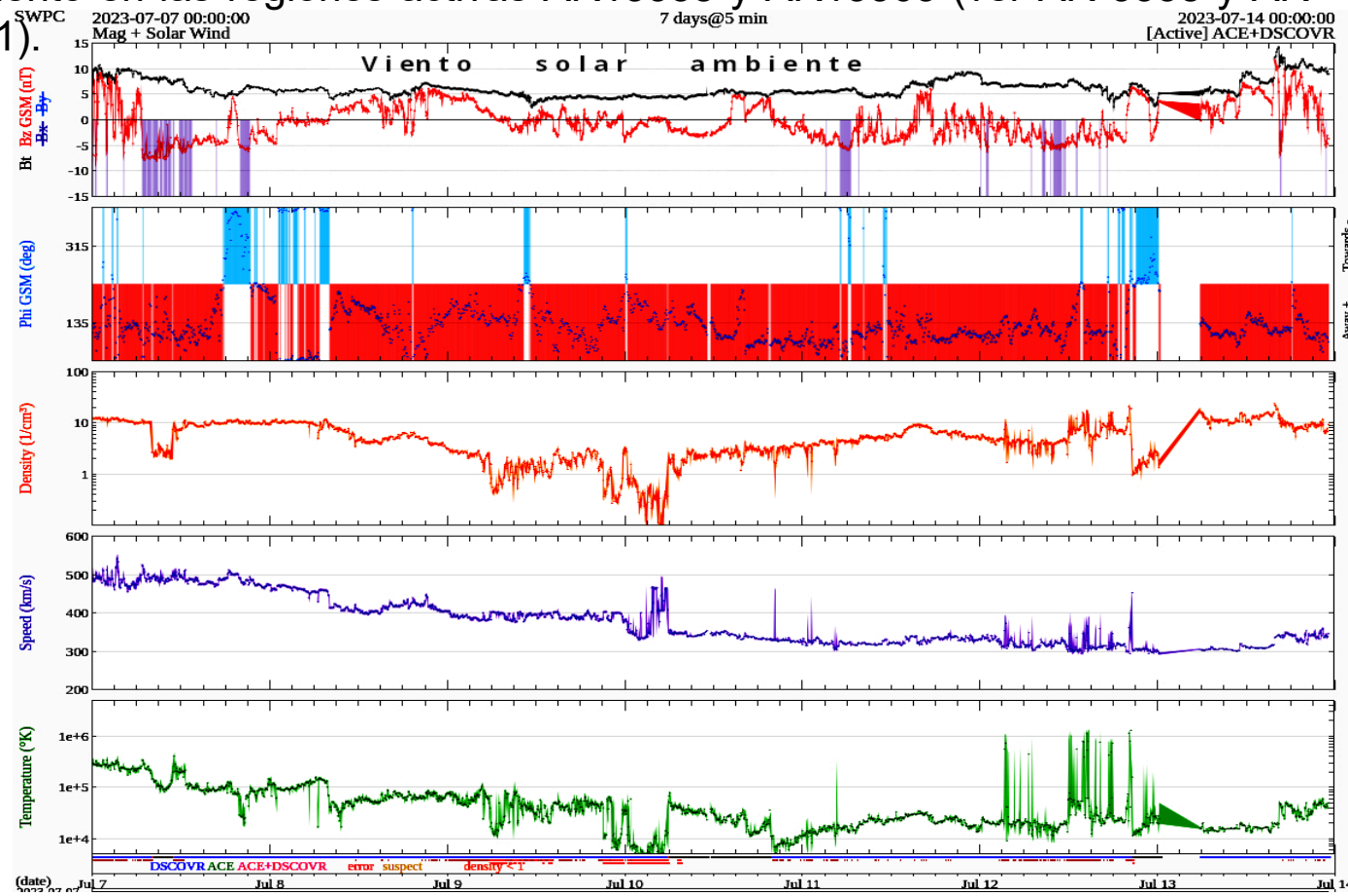
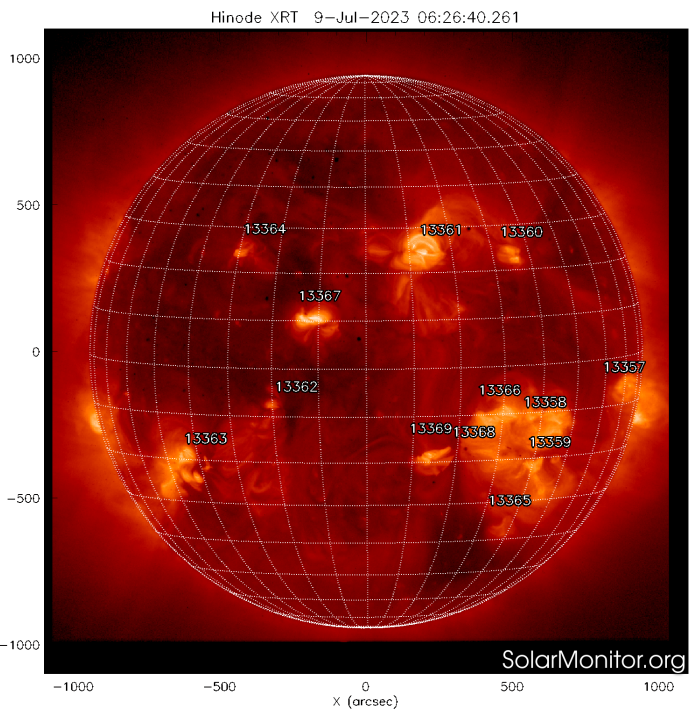


Imagen 1: <https://sdo.gsfc.nasa.gov/>

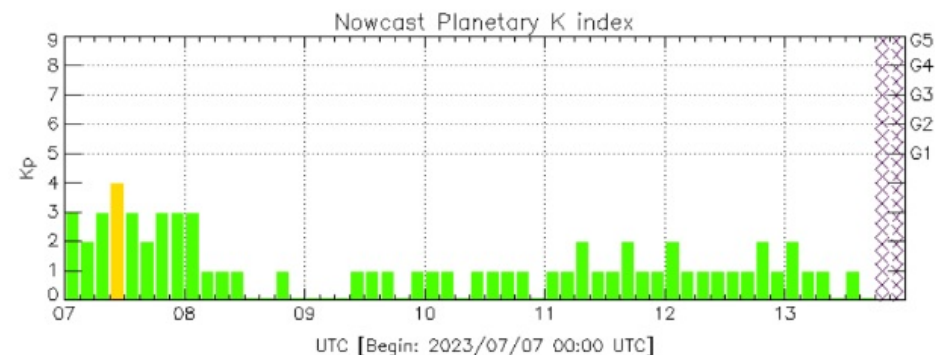
Imagen 2: <http://www.swpc.noaa.gov/products/real-time-solar-wind>

Perturbaciones geomagnéticas: Índices geomagnéticos Kp y Kmex

Se registró perturbación geomagnética en los índices Kp (K = 4) y Kmex (K = 5) el 7 y 12 de julio. La actividad geomagnética fue provocada por corrientes de viento solar con componente Bz sur intermitente que impactaron el ambiente terrestre el 7 y el 12 de julio.

NOTA: El cálculo del índice Kmex se realiza por la estación geomagnética de Coeneo, Mich. Los datos son experimentales y no se deben de tomar como definitivos.

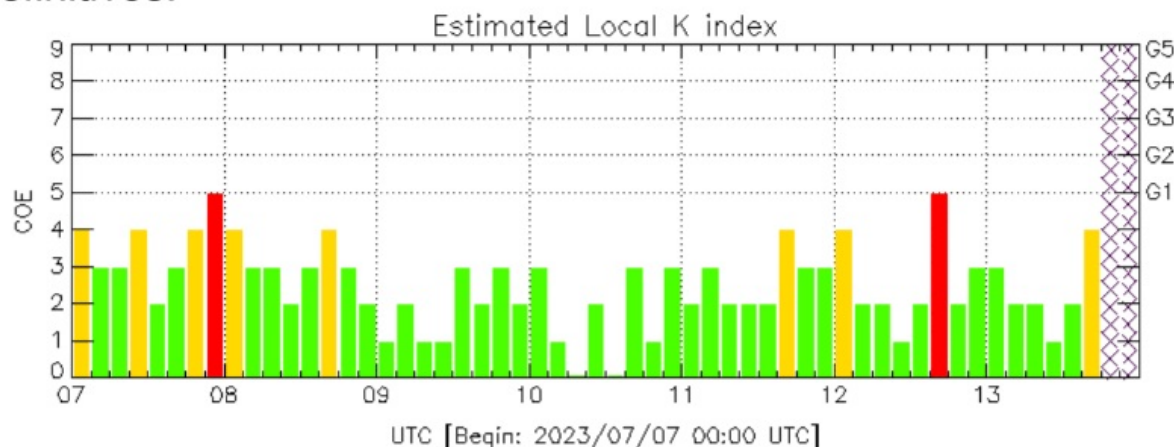
Datos: www.gfz-potsdam.de/en/kp-index/



Color Code: ■ quiet, ■ disturbed, ■ storm, XXXX data not available.

Kp: by GFZ German Research Center for Geosciences
<https://www.gfz-potsdam.de/en/kp-index/>

Updated: 2023/07/13-15:59 UTC



Color Code: ■ quiet, ■ disturbed, ■ storm, XXXX data not available.

COE: Coeneo Geomagnetic Station (LAT 19.81, LON -101.69)

LANC E/SCIESMEX - Morelia, Mich., MX

Updated: 2023/07/13-17:59 UTC

El índice K indica la intensidad de las variaciones del campo magnético terrestre en intervalos de 3 horas.

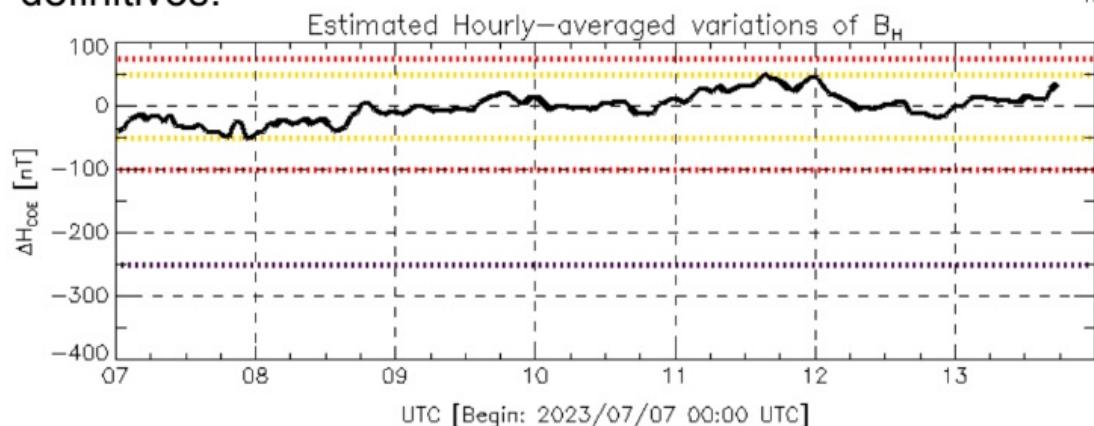
El índice Kp lo expresa a escala planetaria, mientras que el Kmex lo hace para el territorio mexicano.



Perturbaciones geomagnéticas: Índice Dst y ΔH

Se registró actividad geomagnética débil y moderada en los índices Dst y ΔH respectivamente el 7 y el 12 de julio. La actividad geomagnética fue provocada por corrientes de viento solar con componente Bz sur intermitente que impactaron el ambiente terrestre el 7 y el 12 de julio.

NOTA: El cálculo del índice ΔH se realiza por la estación geomagnética de Coeneo, Mich. Los datos son experimentales y no se deben de tomar como definitivos.



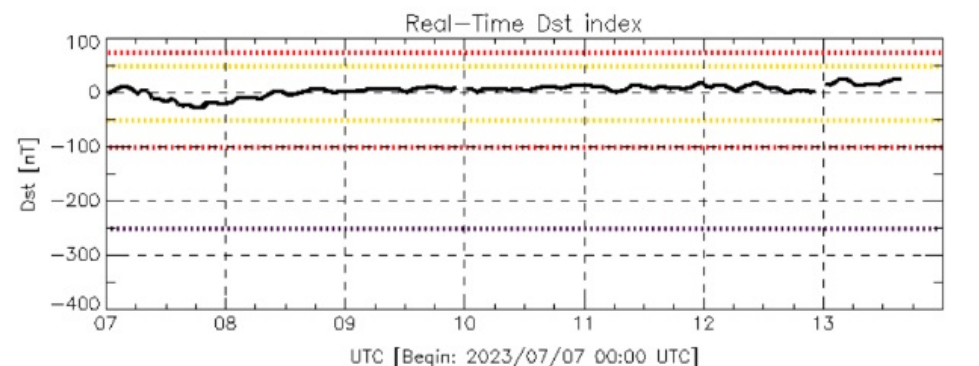
Color Code: weak, moderate, intense, extreme, data not available.

COE: Coeneo Geomagnetic Station (LAT 19.81, LON -101.69)

LANC/SCIESMEX - Morelia, Mich., MX

Updated: 2023/07/13-17:59 UTC

Datos: wdc.kugi.kyoto-u.ac.jp/dst_realtime/



Color Code: weak, moderate, intense, extreme, data not available.

Dst: by World Data Center for Geomagnetism, Kyoto

http://wdc.kugi.kyoto-u.ac.jp/dst_realtime/

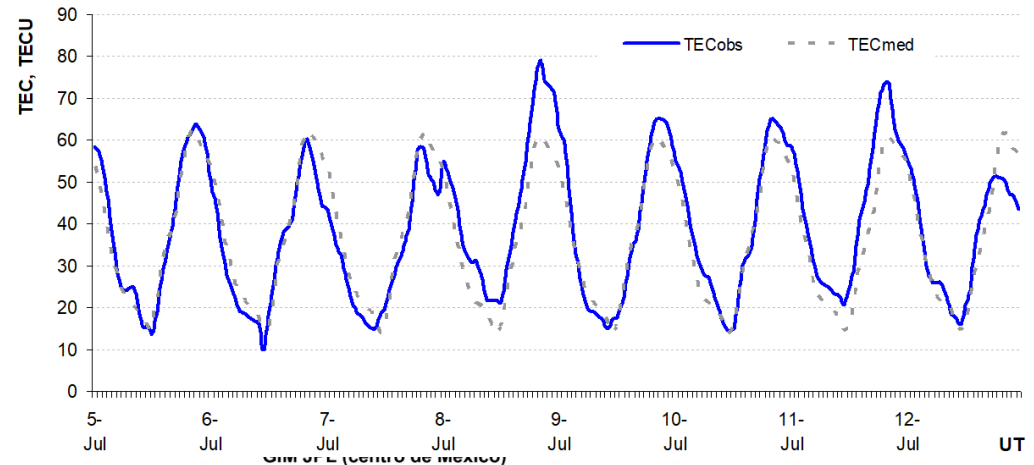
Updated: 2023/07/13-15:59 UTC

Los índices Dst y ΔH miden las variaciones temporales de la componente horizontal del campo geomagnético, el primero a escala planetaria y el segundo para México.

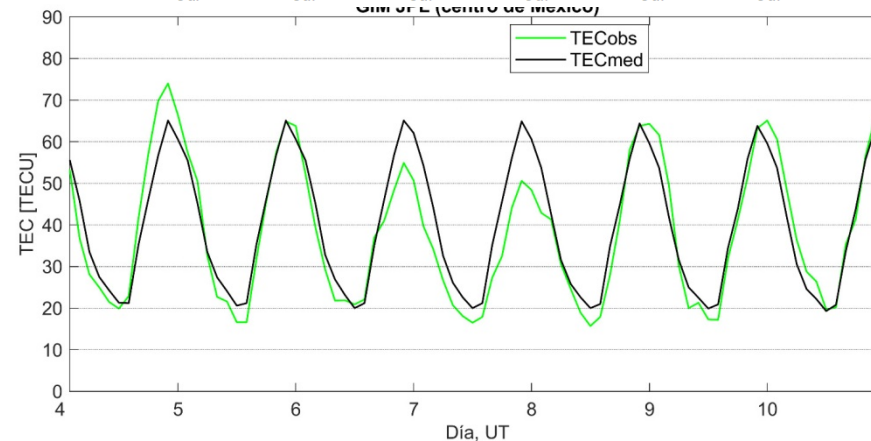
Estas variaciones, en general, se deben al ingreso de partículas cargadas, provenientes del espacio exterior, al ambiente espacial terrestre.

El contenido total de electrones (TEC) es un parámetro que sirve para caracterizar el estado de la ionosfera de la Tierra.

Serie temporal de los valores de TEC observados con referencia a su valor mediano con base en los datos de la estación local UCOE (TLALOCNet, UNAVCO) ubicada en las instalaciones del MEXART.



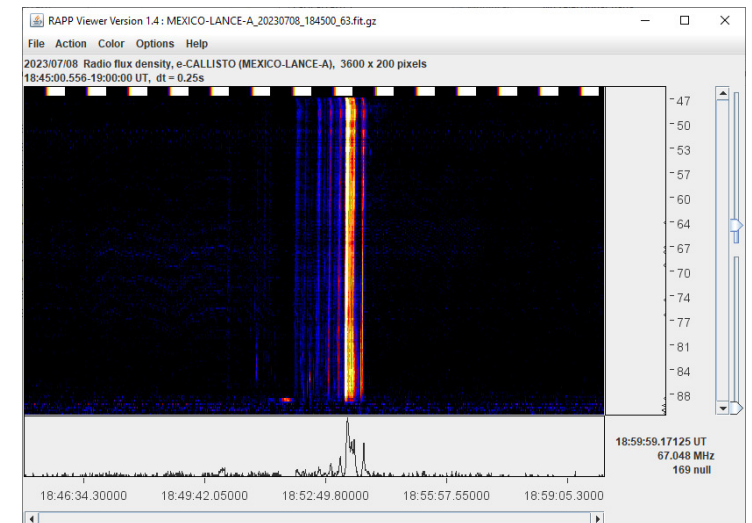
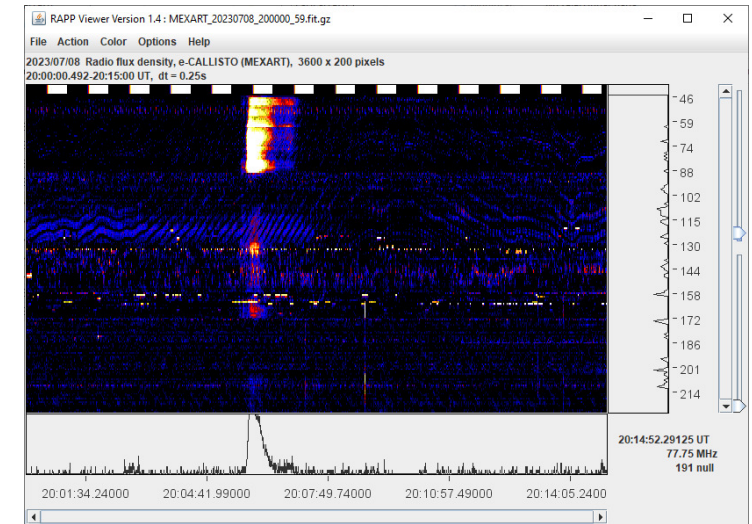
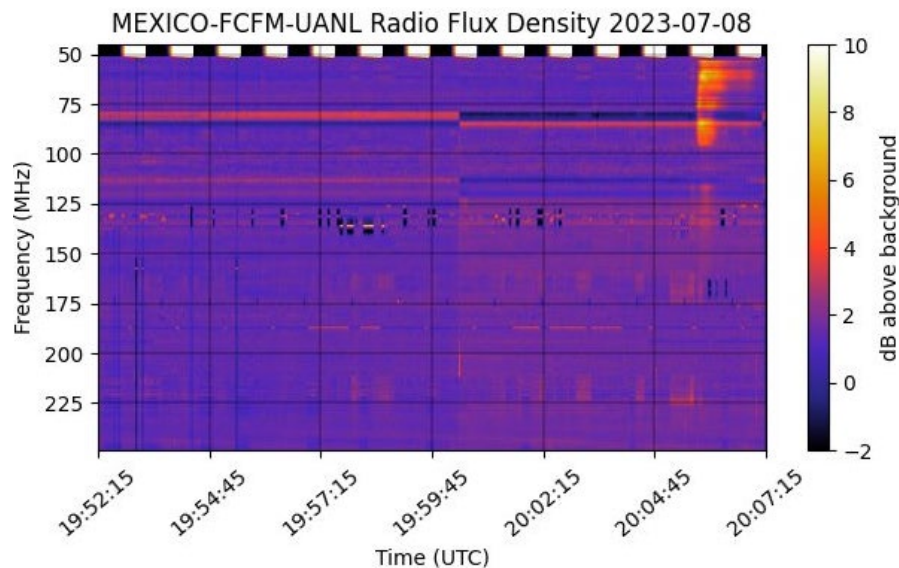
Serie temporal de los valores de TEC con referencia a su valor mediano con base de los mapas ionosféricos globales (GIM JPL).



Esta semana se observaron los valores de TEC aumentados y disminuidos. Estas variaciones no son significativas.

Estallidos de radio solares: Observaciones de la REC-Mx

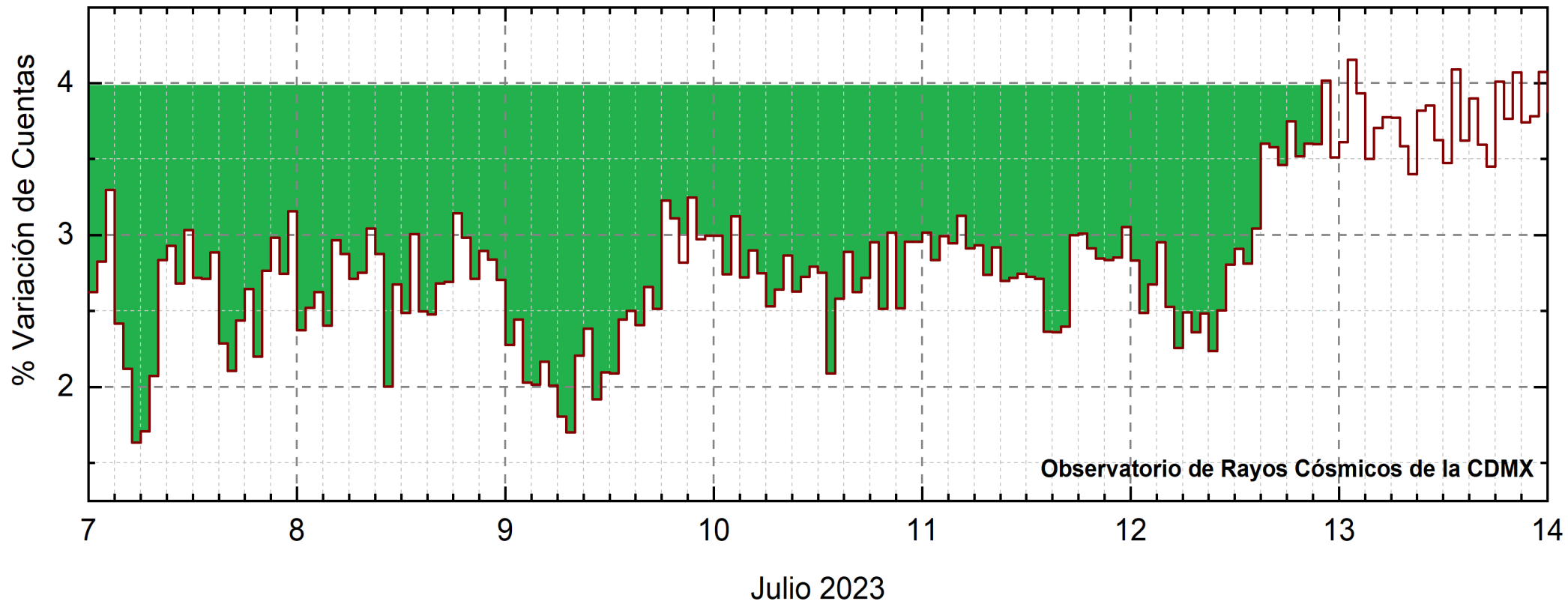
En esta semana la Red de Espectrómetros Callisto de México (REC-Mx) detectó 33 estallidos de radio Tipo III, 11 Tipo V y uno Tipo II.



Rayos Cósmicos:

LANCE

Servicio Clima Espacial



<http://www.cosmicrays.unam.mx/>

Datos registrados por el Observatorio de Rayos Cósmicos de la Ciudad de México. Del 7 al 13 de julio se continuo con el registró del decrecimiento Forbush (dF) que inició el 25 de junio, debido al flanco de EMC. El dF terminó el 12 de julio a las 22 hrs TU. El área coloreada en verde representa la caída en las cuentas de rayos cósmicos detectados en la CDMX, que alcanzó el 2.7%.



Rayos C3smicos:

Un decrecimiento Forbush es una intensa ca3da en las cuentas de rayos c3smicos gal3cticos registrados por los observatorios en Tierra. Este fen3meno se produce porque los rayos c3smicos son desviados por las l3neas de campo magn3tico asociadas a la tormenta solar.

Como los rayos c3smicos son, en su inmensa mayor3a, part3culas cargadas, siguen y giran alrededor de estas l3neas de campo magn3tico en funci3n a su energ3a y son desviados de su trayectoria original. De este modo, los menos energ3ticos no llegan a la Tierra, provocando una r3pida ca3da en el flujo detectado por los observatorios y con una recuperaci3n gradual en funci3n a los par3metros f3sicos de la tormenta solar.

UNAM/LANCE/SCIEMEX

Dr. J. Américo González Esparza

Dr. Pedro Corona Romero

Dra. Maria Sergeeva

Dr. Julio C. Mejía Ambríz

Dr. Luis Xavier González Méndez

Dr. José Juan González Avilés

Ing. Ernesto Andrade Mascote

M.C. Pablo Villanueva Hernández

Dr. Ernesto Aguilar-Rodríguez

Dra. Verónica Ontiveros

Dra. Tania Oyuki Chang Martínez

Dr. Víctor José Gatica Acevedo

Dra. Angela Melgarejo Morales

Isaac David Orrala Legorreta

Elaboración: Maria Sergeeva

Revisión: Ernesto Aguilar Rodríguez

UNAM ENES-Morelia

Dr. Mario Rodríguez Martínez

M.C. Raúl Gutiérrez Zalapa

Ing. Ariana Varela Mendez

Mateo Peralta Mondragón

Jaquelin Mejía Orozco

Grace Diane Jiménez González

UNAM/PCT

Dra. Elsa Sánchez García

M.C. Carlos Arturo Pérez Alanís

M.C. Isaac Castellanos Velasco

UANL/LANCE

Dr. Eduardo Pérez Tijerina

Dra. Esmeralda Romero
Hernández

UNAM/IGF/RAYOS CÓSMICOS

Dr. José Francisco Valdés Galicia

Fis. Alejandro Hurtado Pizano

Ing. Octavio Musalem Clemente

SERVICIO MAGNÉTICO

M.C. Esteban Hernández Quintero

M.C. Gerardo Cifuentes Nava

Dra. Ana Caccavari Garza

GPCEET/SAET-IPN

Ing. Julio César Villagrán Orihuela

Miguel Daniel González Arias

Carlos Escamilla León

Pablo Romero Minchaca

Alfonso Iván Verduzco Torres

Claudia López Martínez

Ana María Ramírez Reyes

Emiliano Campos Castañeda

Agradecimientos

El Laboratorio Nacional de Clima Espacial (LANCE) es parcialmente financiado por: el programa Cátedras CONACYT Proyecto 1045 y el Fondo Sectorial AEM-CONACYT proyecto 2014-01-247722. Agradecemos al proyecto Conacyt – Repositorio Institucional de Clima Espacial 268273. Agradecemos al proyecto AEM-2018-01-A3-S-63804 del Fondo Sectorial CONACYT-AEM. Agradecemos a todos los responsables y colaboradores de instrumentos del LANCE y a las redes de estaciones GPS del Servicio Sismológico Nacional y TlalocNET por facilitar sus datos. Agradecemos a Gerardo Cifuentes, Esteban Hernández y Ana Caccavari por los datos del Observatorio Magnético de Teoloyucan. De igual forma, agradecemos los servicios de IGS (International GNSS Service) por permitirnos usar los datos IONEX disponibles en: <https://cddis.nasa.gov/archive/gnss/products/ionex>. Los valores de TEC fueron obtenidos a partir de observaciones de las redes GPS del Servicio Sismológico Nacional (SSN), SSN-TLALOCNet y TLALOCNet del Servicio de Geodesia Satelital (SGS). Agradecemos al personal del SSN y del SGS por el mantenimiento de estaciones, la adquisición de datos y el soporte de IT de estas redes. Las operaciones de la red TLALOCNet y SSN-TLALOCNet GPS han sido apoyadas por The National Science Foundation bajo el proyecto EAR-1338091 a UNAVCO Inc., los proyectos CONACyT 253760 y 256012 y los proyectos UNAM-PAPIIT IN109315-3 y IN104818-3 de E. Cabral-Cano y el proyecto UNAM-PAPIIT IN111509 de R. Pérez. De igual forma, agradecemos a los proyectos de infraestructura del CONACyT: 253691 y del PAPIIT-DGAPA: IA107116 para el fortalecimiento de equipos como la estación fija de GPS, que forman parte del LACIGE-UNAM, de la ENES unidad Morelia a cargo de M. Rodríguez-Martínez, El cálculo de TEC se realiza: 1) utilizando el software US-TEC que es un producto de operación del Space Weather Prediction Center (SWPC), desarrollado a través de una colaboración entre National Geodetic Survey, National Oceanic and Atmospheric Administration (NOAA) y el Cooperative Institute for Research in Environmental Sciences of the University of Boulder, Colorado, 2) con base en el software TayAbsTEC del Instituto de Física Solar-Terrestre, sección Siberiana de la Academia de Ciencias Rusa. Parte del procesamiento de datos se lleva a cabo dentro del centro de Supercómputo de Clima Espacial (CESCOM) del LANCE. Así mismo agradecemos al Space Weather Forecasting Center for Astrophysics & Space Research de la University of California in San Diego y al Korean Space Weather Center por los datos de pronóstico para los modelos WSA-ENLIL y los mapas tomográficos por IPS. Agradecemos a la red e-callisto por los datos proporcionados de espectros electromagnéticos dinámicos de la red internacional de registro de eventos de radio solares.

Datos

Imágenes de coronógrafo, flujo de rayos X y modelo WSA-ENLIL:

<http://www.swpc.noaa.gov/products>

<http://iswa.ccmc.gsfc.nasa.gov/IswaSystemWebApp/>

Imágenes de coronógrafo:

<http://sohowww.nascom.nasa.gov/data/>

Imágenes del disco solar y de la fulguración:

<http://www.solarmonitor.org/>

Detección y caracterización de EMCs:

<http://www.sidc.oma.be/cactus/out/latestCMEs.html>

<http://spaceweather.gmu.edu/seeds/>

ISES:

<http://www.spaceweather.org/>

International Network of Solar Radio Spectrometers (e-callisto):

<http://www.e-callisto.org/>

German Research Center For Geosciences Postdam:

<http://www.gfz-potsdam.de/en/sektion/erdmagnetfeld/daten-dienste/kp-index/>

Data Analysis Center for Geomagnetism and Space Magnetism, Kyoto University:

<http://wdc.kugi.kyoto-u.ac.jp/index.html>

UNAVCO:

<http://www.unavco.org>

SSN:

<http://www.sismologico.unam.mx/>

SOHO Spacecraft NASA:

<http://sohowww.nascom.nasa.gov/>

SDO Spacecraft NASA:

<http://sdo.gsfc.nasa.gov/>

Space Weather Prediction Center NOAA:

<http://www.swpc.noaa.gov>

GOES Spacecraft NOAA:

<http://www.ngdc.noaa.gov/stp/satellite/goes/index.html>

ACE Spacecraft NOAA

<http://www.srl.caltech.edu/ACE/ASC/index.html>